

УДК 519.115:519.2

## ВЕРОЯТНОСТНЫЙ АНАЛИЗ СХЕМ РАЗМЕЩЕНИЯ ЧАСТИЦ ПО ЯЧЕЙКАМ С ФИКСИРОВАННЫМ ЗНАЧЕНИЕМ ИХ МИНИМАЛЬНОГО ЗАПОЛНЕНИЯ

Н. Ю. Энатская

Московский институт электроники и математики,  
Национальный исследовательский университет «Высшая школа экономики», Россия

В схемах равновероятного размещения  $r$  частиц по  $n$  ячейкам изучаются вероятностные распределения минимальных уровней заполнения ячеек, чисел ячеек с фиксированным минимальным уровнем заполнения и числа пустых ячеек. Рассматриваемые схемы отличаются разными парными качествами ячеек и частиц по их различимости.

Ключевые слова: варианты размещения частиц; число пустых ячеек; вероятностное распределение минимального заполнения ячеек.

### N. Yu. Enatskaya. PROBABILITY ANALYSIS OF THE SCHEMES OF PARTICLE ALLOCATION TO CELLS WITH A FIXED MINIMUM FILLING VALUE

Schemes of equiprobable allocation of  $r$  particles to  $n$  cells are studied for the probability distributions of minimum cell fill levels, numbers of cells with a fixed minimum fill level, and the number of empty cells. The schemes have different paired qualities of cells and particles in terms of their distinguishability.

Keywords: particle allocation variants; number of empty cells; probability distribution of the minimal numbers of elements per cells.

### ВВЕДЕНИЕ

Вероятностные распределения указанных для исследования характеристик определяются в следующих четырех схемах размещения частиц по ячейкам, характеризующихся разными парными качествами ячеек и частиц в них:

схема  $A$  – размещение различных частиц по различным ячейкам;

схема  $B$  – размещение различных частиц по неразличимым ячейкам;

схема  $C$  – размещение неразличимых частиц по различным ячейкам;

схема  $D$  – размещение неразличимых частиц по неразличимым ячейкам.

Вероятностный анализ схем проводится на основе процедур прямого перечисления благоприятных исходов схем для допустимых значений изучаемых характеристик со следующими обозначениями:

$U$  – минимальный уровень заполнения ячеек в исходе схемы;

$\mu_k$  – число ячеек с минимальным уровнем заполнения  $U = k$ , где  $k$  – целое  $\geq 0$ ;

$\mu_0$  – число пустых ячеек.

Для всех схем считаем, что  $r \geq nk$ .

Укажем диапазоны изменения возможных значений  $k$ ,  $\mu_k$  изучаемых характеристик. Очевидно, что

$$k = \overline{0, [r/n]}, \quad (1)$$

где  $[Z]$  – целая часть числа  $Z$ ,

$$\mu_k = \overline{l, L}, \quad (2)$$

где для  $\mu_k$  при заданном значении  $k$  величины  $l$  и  $L$  очевидно определяются из условий  $r - \mu_k k \geq (n - \mu_k)(k + 1)$ , т. к.  $\mu_k$  ячеек с  $k$  частицами, а остальные  $(n - \mu_k)$  ячеек с более чем  $k$  частицами, откуда  $r \geq \mu_k k + (n - \mu_k)(k + 1)$ , а  $L = n$ , когда  $r = nk$ , или  $L = n - 1$ , когда  $r > nk$ , что можно записать следующими формулами для значений  $l$  и  $L$ :

$$l = \max(1, n(k + 1) - r),$$

$$J = 1 - C_n^{n+r-nk}, \quad L = n - J. \quad (3)$$

Число пустых ячеек равно 0 при  $U = k > 0$ .

Вероятностный анализ характеристик схем начнем с нахождения распределения случайной величины (с. в.)  $U$  с учетом разных качеств ячеек и частиц (по их различимости):

а) при различимости ячеек будем различать варианты наборов составов частиц в ячейках (для различимых частиц) или их количеств (для неразличимых частиц);

б) при различимости частиц будем различать наборы составов частиц в ячейках с учетом порядка этих наборов (для различимых ячеек) или без учета их порядка (для неразличимых ячеек).

Теперь по приведенным общим соображениям будем находить вероятностные распределения исследуемых характеристик в каждой схеме со спецификой, определяемой качествами ячеек и частиц.

## 1. ВЕРОЯТНОСТНЫЙ АНАЛИЗ СХЕМЫ А

**Теорема 1.** Для вероятностного распределения минимального заполнения ячеек при  $k$ , удовлетворяющего (1), выполняется соотношение

$$P(U = k) = \frac{M_A(k)}{n^r}$$

$$= \frac{1}{n^r} \sum_{i=l}^L \sum_{\{\bar{w}\}} \left( \frac{r!}{\prod_{j=1}^n w_j!} \right) \left( \frac{n!}{\prod_{a=0}^r q_a!} \right), \quad (4)$$

где  $M_A(k)$  – число исходов события ( $U = k$ ), т. е. все варианты размещения частиц в схеме, когда в части ячеек по  $k$  частиц, а

в остальных ячейках больше, чем по  $k$ , последняя сумма производится по перечислению всех наборов  $\{\bar{w}\}$  уровней заполнения ячеек  $\bar{w} = (w_1, \dots, w_n)$  в данном их порядке при каждой фиксации числа  $i$  ячеек с их заданным минимальным уровнем заполнения  $k$ , а  $\bar{q} = (q_0, \dots, q_r)$  – вторая маркировка уровней заполнения ячеек, где  $q_a$  – число ячеек с уровнем заполнения  $a$ ,  $a = \overline{0, r}$ .

*Доказательство.* Число исходов  $N_A$  схемы А размещения различных частиц по различным ячейкам известно:  $N_A = n^r$ . Вероятность  $P(U = k)$  для допустимых по (1) значений  $k$  будем искать в виде  $M_A(k)/n^r$ . Число исходов  $M_A(k)$  определяется по процедуре их перечисления в следующем порядке:

- 1) перечисляем все допустимые по (2) и (3) значения  $\mu_k$  ячеек, содержащих ровно по  $k$  частиц;
- 2) для каждого значения  $\mu_k = i$  из 1) перечисляем все размеры превышения заданного уровня заполнения остальных  $(n - i)$  ячеек по схеме сочетаний с повторением без пустых ячеек при размещении по ним  $(r - nk)$  неразличимых частиц числом способов  $C_{r-nk-1}^{n-i-1}$  в виде  $\bar{m} = (m_1, \dots, m_n)$ , где компоненты превышений перечисляются в порядке нумерации ячеек, и на местах выбранных в 1)  $i$  ячеек стоят нули;
- 3) прибавляя ко всем компонентам каждого вектора из 2)  $\bar{m}$  по  $k$ , получаем все наборы требуемых размеров уровней заполнения ячеек  $\bar{w} = (w_1, \dots, w_n)$ ;
- 4) для каждого  $\bar{w}$  вычисляем  $\bar{q}$ ;
- 5) по результатам 3) и 4) по схеме перестановок с повторением находим число размещений  $r$  различных частиц по  $n$  различным ячейкам во всех заданных вектором  $\bar{w}$  количествах при фиксированном значении  $i$ , обеспечивающих выполнение события ( $U = k$ ) – это первый сомножитель в круглых скобках в (4), и число делений  $n$  ячеек на группы ячеек с совпадающими уровнями заполнения – это второй сомножитель в круглых скобках в (4).

Тогда

$$M_A(k) = \sum_{i=l}^L \sum_{\{\bar{w}\}} \frac{r!}{\prod_{j=1}^n w_j!} \frac{n!}{\prod_{a=0}^r q_a!},$$

а перечисление всех наборов  $\{\bar{w}\}$  при каждой фиксации числа  $i$  ячеек с их заданным минимальным уровнем заполнения  $k$  следует из перечисления исходов схемы сочетаний с повторением в количестве  $C_{r-nk-1}^{n-i-1}$  в связи с перебором наборов размеров превышений уровня заполнения ячеек, описанным в п. 2) перечисления благоприятных исходов события ( $U = k$ ), что приводит к формуле (4).

Отсюда получаем вероятностное распределение с. в.  $\mu_k$  при заданном значении  $k$  с. в.  $U$ , т. е.

$$P(\mu_k = i/U = k) = (1/M_A(k)) \sum_{\{\bar{w}^*\}} \frac{r!}{\prod_{j=1}^n w_j!} \frac{n!}{\prod_{a=0}^r q_a!}, \quad (5)$$

где сумма производится по перечислению всех наборов  $\{\bar{w}^*\} = \{\bar{w}\} : \sum_{j=1}^n I(w_j - k) = n - i$  при  $I(Z) = 0$ , когда  $Z = 0$ , и  $I(Z) = 1$ , когда  $Z > 0$ . Тогда при  $j = 0$

$$P(\mu_0 = j) = P(U \neq 0),$$

$$\text{и при } j > 0 \quad (6)$$

$$P(\mu_0 = j) = P(\mu_0 = j/U = 0)P(U = 0).$$

□

**Замечание 1.** а) Очевидно, что  $\sum_k M_A(k) = n^r$ .

б) Формулы (6) верны для всех схем  $A - D$ .

Приведем числовой пример расчета вероятностных распределений приведенных характеристик.

**Пример 1.** Пусть  $n = 3$ ,  $r = 3$ . Общее число исходов схемы  $N_A = 3^3 = 27$ ;  $k = 0, [3/3] = 0, 1$ ; по (2) и (3) при  $k = 0$   $i = \bar{l}, \bar{L}$ , где  $l = \max(1, 3 - 3) = 1$ ,  $L = 2$ , а при  $k = 1$   $i = \bar{l}, \bar{L}$ , где  $l = \max(1, 6 - 3) = 3$ ,  $L = 3$ .

Для наглядности и проверки результатов расчетов в примере приведем граф полного перечисления исходов схемы на рисунке 1.

Для  $k = 0$ ,  $i = 1$  при любой фиксации одной ячейки с уровнем заполнения 0 получаем одинаковые по составу наборы уровней заполнения  $\bar{w} = (0, 1, 2)$ , для которых  $\bar{q} = (1, 1, 1, 0)$ ;

для  $k = 0$ ,  $i = 2$  при любой фиксации двух ячеек с уровнем заполнения 0 получаем одинаковые по составу наборы уровней заполнения  $\bar{w} = (0, 0, 3)$ , для которых  $\bar{q} = (2, 0, 0, 1)$ ; тогда находим

$$M_A(0) = \frac{3!}{0!1!2!} \frac{3!}{1!1!1!0!} + \frac{3!}{0!0!3!} \frac{3!}{2!0!0!1!} = 18 + 3 = 21.$$

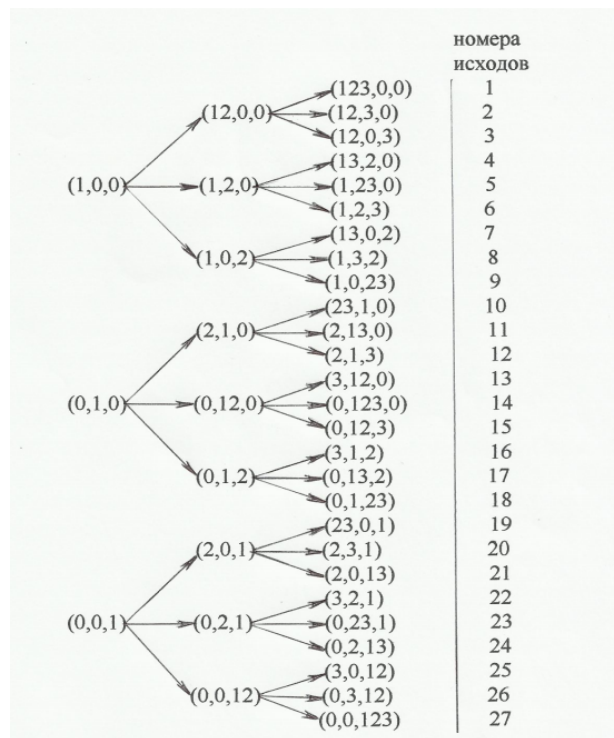


Рис. 1. Граф перечисления исходов схемы  $A$  в примере 1

Fig. 1. Enumeration graph of outcomes of the scheme  $A$  in example 1

Отсюда по (4) получаем  $P(U = 0) = 21/27 = 7/9$ .

Для  $k = 1$ ,  $i = 3$  при фиксации трех ячеек с уровнем заполнения 1 получаем один набор уровней заполнения  $\bar{w} = (1, 1, 1)$ , для которого  $\bar{q} = (0, 3, 0, 0)$ ; тогда находим

$$M_A(1) = \frac{3!}{1!1!1!} \frac{3!}{0!3!0!0!} = 6.$$

Проверка по замечанию 1:  $M_A(0) + M_A(1) = 27 = 3^3$ .

В результате получено:  $P(U = 0) = 7/9$ ;  $P(U = 1) = 2/9$  – вероятностное распределение минимального уровня заполнений в схеме. Отсюда по (5) находим условные распределения для с. в.  $\mu_k$ :

$$P(\mu_0 = 1/U = 0) = 18/21 = 6/7;$$

$$P(\mu_0 = 2/U = 0) = 3/21 = 1/7;$$

$$P(\mu_1 = 3/U = 1) = 6/6 = 1.$$

Тогда число пустых ячеек  $\mu_0$  имеет по (6) распределение

$$P(\mu_0 = 0) = 6/27 = 2/9;$$

$$P(\mu_0 = 1) = 18/27 = 6/9;$$

$$P(\mu_0 = 2) = 3/27 = 1/9.$$

Все полученные результаты совпадают с расчетами по графу на рисунке 1.

## 2. ВЕРОЯТНОСТНЫЙ АНАЛИЗ СХЕМЫ В

**Теорема 2.** Для вероятностного распределения минимального заполнения ячеек при  $k$ , удовлетворяющего (1), выполняется соотношение

$$P(U = k) = \frac{M_B(k)}{N_B} = \frac{1}{N_B} \sum_{i=l}^L \sum_{\{\bar{w}\}} \frac{r!}{\prod_{j=1}^n w_j! \prod_{a=1}^{n^*} q_a!}, \quad (7)$$

где число исходов  $N_B$  схемы В размещения различных частиц по неразличимым ячейкам,  $M_B(k)$  – число исходов события ( $U=k$ ), т. е. все варианты размещения частиц в схеме, когда в части ячеек по  $k$  частиц, а в остальных ячейках больше, чем по  $k$ , а последняя сумма производится по перечислению всех наборов  $\{\bar{w}\}$  уровней заполнения ячеек  $\bar{w}$  в порядке их возрастания при каждой фиксации числа  $i$  ячеек с их заданным минимальным уровнем заполнения  $k$ , а  $\bar{q} = (q_1, \dots, q_{n^*})$  – вторые маркировки уровней заполнения ячеек по всем положительным заполнениям  $n^* \leq r$ .

**Доказательство.** Число исходов  $N_B$  схемы В размещения различных частиц по неразличимым ячейкам  $N_B$  получено в [1]. Вероятность  $P(U = k)$  для допустимых по (1) значений  $k$  будем искать в виде  $M_B(k)/N_B$ . Число исходов  $M_B(k)$  определяется по процедуре их перечисления в следующем порядке:

- 1) при заданном по (1) числе  $k$  по всем допустимым по (2) и (3) значениям  $i$  ячеек с минимальным уровнем заполнения  $k$  перечисляем все размеры превышения заданного уровня заполнения остальных  $(n-i)$  ячеек по схеме деления остальных  $(r-nk)$  частиц, считая их номера от 1 до  $(r-nk)$ , на  $(n-i)$  непустых частей по [2] и проводя по ним перечисление всех разных упорядоченных по возрастанию наборов размеров этих превышений по всем  $(n-i)$  ячейкам, в виде  $\bar{m} = (m_1, \dots, m_n)$ , где первые  $i$  компонент = 0;
- 2) прибавляя ко всем компонентам каждого вектора из 1)  $\bar{m}$  по  $k$ , получаем все наборы требуемых размеров уровней заполнения ячеек  $\bar{w} = (w_1, \dots, w_n)$ , среди которых проводим вторые маркировки по всем положительным размерам заполнения  $n^* \leq r$  вида  $\bar{q} = (q_1, \dots, q_{n^*})$ ;
- 3) по результату 2) по схеме из [3] находим число размещений  $r$  различных частиц

по  $n$  различным ячейкам во всех заданных вектором  $\bar{w}$  количествах при фиксированном значении  $i$ , обеспечивающих выполнение события ( $U = k$ ).

Тогда в связи с неразличимостью ячеек, учитывая делением на  $\prod_{a=1}^{n^*} q_a!$  неразличимость перестановок составов ячеек, совпадающих по уровням  $\geq 1$  заполнения ячеек, получаем число исходов схемы

$$M_B(k) = \sum_{i=l}^L \sum_{\{\bar{w}\}} \frac{r!}{\prod_{j=1}^n w_j! \prod_{a=1}^{n^*} q_a!},$$

где первая сумма производится по значениям  $i$ , а вторая – по перечислению всех наборов  $\{\bar{w}\}$  при каждом значении  $i$  с их заданным минимальным уровнем заполнения  $k$ , которое следует из перечисления исходов указанной схемы из [2] в связи с перебором наборов размеров превышений уровня заполнения ячеек, описанным в п. 1) перечисления благоприятных исходов события ( $U = k$ ) (значение  $k$  меняется по (1)).

Отсюда получаем вероятностное распределение с. в.  $\mu_k$  при заданном значении  $k$  с. в.  $U$ , т. е.

$$P(\mu_k = i/U = k) = (1/M_B(k)) \sum_{\{\bar{w}^*\}} \frac{r!}{\prod_{j=1}^n w_j! \prod_{a=1}^{n^*} q_a!}, \quad (8)$$

где сумма производится по перечислению всех наборов  $\{\bar{w}^*\} = \{\bar{w}\} : \sum_{j=1}^n I(w_j - k) = n - i$  при  $I(Z) = 0$ , когда  $Z = 0$ , и  $I(Z) = 1$ , когда  $Z > 0$ .

Тогда вероятностное распределение с. в.  $\mu_0$  снова находится по (6).  $\square$

**Замечание 2.** Очевидно, что  $\sum_k M_B(k)$  – число исходов схемы В.

Приведем числовой пример расчета вероятностных распределений приведенных характеристик.

**Пример 2.** Пусть  $n = 3$ ,  $r = 4$ . Общее число исходов схемы  $N_B$  по [1] равно 14 и можно проверить по графу перечисления (см. рис. 2);  $k = 0, [4/3] = 0, 1$ ; по (2) и (3) при  $k = 0$   $i = \bar{l}, \bar{L}$ , где  $l = \max(1, 3 - 4) = 1$ ,  $L = 2$ , а при  $k = 1$   $i = \bar{l}, \bar{L}$ , где  $l = \max(1, 6 - 4) = 2$ ,  $L = 2$ .

Для  $k = 0$ ,  $i = 1$  получаем все  $\bar{w}$  – это  $\bar{w} = (0, 1, 3)$  с  $\bar{q} = (1, 1)$  и  $\bar{w} = (0, 2, 2)$  с  $\bar{q} = (2)$ .

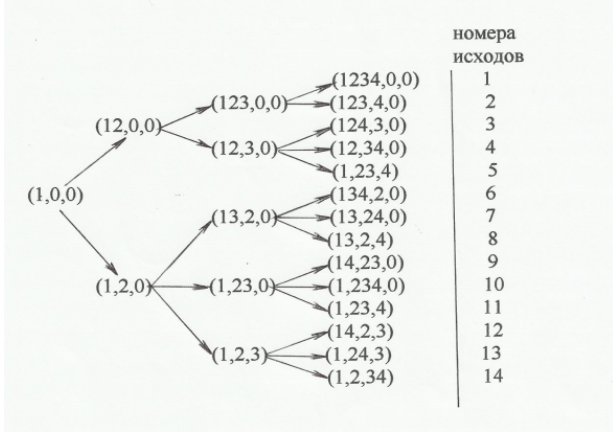


Рис. 2. Граф перечисления всех исходов схемы  $B$  в примере 2

Fig. 2. Enumeration graph of all outcomes of the scheme  $B$  in example 2

Для  $k = 0$ ,  $i = 2$  получаем все  $\bar{w}$  – это  $\bar{w} = (0, 0, 4)$  с  $\bar{q} = (1)$ . Отсюда по (7) находим

$$\begin{aligned} P(U = 0) &= (1/14) \left( \frac{4!}{0!1!3!1!1!} + \frac{4!}{0!2!2!2!} + \frac{4!}{0!0!4!1!} \right) \\ &= (1/14)(4+3+1) = 8/14 = 4/7 \quad (M_B(0)=8). \end{aligned}$$

Для  $k = 1$ ,  $i = 2$  получаем все  $\bar{w}$  – это  $\bar{w} = (1, 1, 2)$  с  $\bar{q} = (2, 1)$ . Отсюда по (7) находим

$$P(U = 1) = (1/14) \frac{4!}{1!1!2!2!1!} = 6/14 = 3/7 \quad (M_B(1) = 6).$$

По замечанию 2 число исходов схемы есть  $M_B(0) + M_B(1) = 14$ .

В результате получено:  $P(U = 0) = 4/7$ ;  $P(U = 1) = 3/7$  – вероятностное распределение минимального уровня заполнений в схеме. Отсюда по (8) находим условные распределения для с. в.  $\mu_k$ :

$$\begin{aligned} P(\mu_0 = 1/U = 0) &= 7/8; \\ P(\mu_0 = 2/U = 0) &= 1/8; \\ P(\mu_1 = 1/U = 1) &= 0/6 = 0; \\ P(\mu_1 = 2/U = 1) &= 6/6 = 1; \\ P(\mu_1 = 3/U = 1) &= 0/6 = 0. \end{aligned}$$

Тогда число пустых ячеек  $\mu_0$  имеет по (6) распределение

$$\begin{aligned} P(\mu_0 = 0) &= 6/14; \\ P(\mu_0 = 1) &= 7/14; \\ P(\mu_0 = 2) &= 1/14. \end{aligned}$$

## ВЕРОЯТНОСТНЫЙ АНАЛИЗ СХЕМЫ $C$

Подобная схема исследовалась в [5].

**Теорема 3.** Для вероятностного распределения минимального заполнения ячеек при  $k$ , удовлетворяющего (1), выполняется соотношение

$$P(U = k) = \frac{M_C(k)}{C_{n+r-1}^r}$$

при  $r = nk$  и

$$\begin{aligned} P(U = k) &= \frac{M_C(k)}{C_{n+r-1}^r} \\ &= \frac{1}{C_{n+r-1}^r} \sum_{i=l}^L C_n^i C_{r-nk-1}^{n-i-1} \end{aligned} \quad (9)$$

при  $r > nk$ , где  $M_C(k)$  – число исходов события ( $U = k$ ), т. е. все варианты размещения частиц в схеме, когда в части ячеек по  $k$  частиц, а в остальных ячейках больше, чем по  $k$  частиц.

*Доказательство.* Число исходов  $N_C$  схемы  $C$  размещения неразличимых частиц по различным ячейкам известно:  $N_C = C_{n+r-1}^r$ . Вероятность  $P(U = k)$  для допустимых по (1) значений  $k$  будем искать в виде  $M_C(k)/C_{n+r-1}^r$ , где число  $M_C(k)$  определяется по процедуре их перечисления в следующем порядке:

- 1) перечисляем все допустимые по (2) и (3) фиксации  $i$  ячеек, содержащих ровно по  $k$  частиц числом способов  $C_n^i$ ;
- 2) для каждой фиксации 1) перечисляем все размещения остальных  $(r - nk)$  частиц по остальным  $(n - i)$  ячейкам по схеме сочетаний с повторением без пустых ячеек числом способов  $C_{r-nk-1}^{n-i-1}$ . Они и определяют все возможные благоприятные событию ( $U = k$ ) исходы при данной фиксации ровно  $i$  ячеек с минимальным уровнем заполнения  $k$ .

Тогда  $M_C(k) = 1$  при  $r = nk$  и

$$M_C(k) = \sum_{i=l}^L C_n^i C_{r-nk-1}^{n-i-1}$$

при  $r > nk$ , что и приводит к формуле (9).

Отсюда получаем вероятностное распределение с. в.  $\mu_k$  при заданном значении  $k$  с. в.  $U$ , т. е.  $P(\mu_k = i/U = k) = (1/M_C(k))$  при  $r = nk$  и

$$P(\mu_k = i/U = k) = (1/M_C(k)) C_n^i C_{r-nk-1}^{n-i-1} \quad (10)$$

при  $r > nk$ . Тогда вероятностное распределение с. в.  $\mu_0$  снова находится по (6).  $\square$

Приведем числовой пример расчета вероятностных распределений приведенных характеристик.

**Пример 3.** Пусть  $n = 3$ ,  $r = 4$ . Общее число исходов схемы  $N_A = C_6^4 = 15$ ;  $k = \overline{0, [4/3]} = \overline{0, 1}$ ; по (2) и (3) при  $k = 0$   $i = \overline{l, L}$ , где  $l = \max(1, 3 - 4) = 1$ ,  $L = 2$ , а при  $k = 1$   $i = \overline{l, L}$ , где  $l = \max(1, 6 - 4) = 2$ ,  $L = 2$ .

Для наглядности и проверки результатов расчетов в примере приведем граф полного перечисления исходов схемы на рисунке 3, где исходы будем задавать в виде перечня уровней заполнения ячеек в порядке их нумерации.

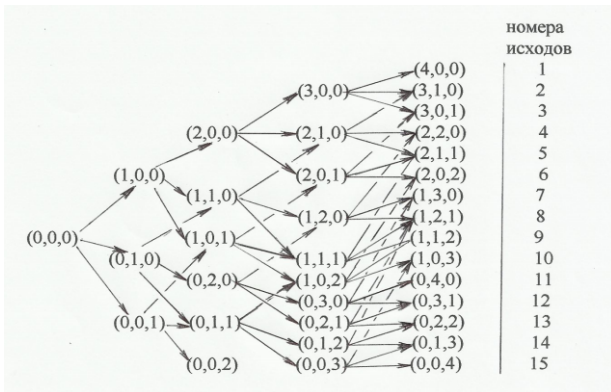


Рис. 3. Граф перечисления исходов схемы  $C$  в примере 3

Fig. 3. Enumeration graph of outcomes of the scheme  $C$  in example 3

По формуле (9) при  $k = 0$  получаем

$$P(U = 0) = (1/15)(C_3^1 C_3^1 + C_3^2 C_3^0)$$

$$= (9 + 3)/15 = 12/15 = 4/5 \quad (M_C(0) = 12),$$

а при  $k = 1$

$$P(U = 1) = (1/15)C_3^2 C_0^0 = 3/15 = 1/5$$

$$(M_C(1) = 3).$$

В результате получено:  $P(U = 0) = 4/5$ ;  $P(U = 1) = 1/5$  – вероятностное распределение минимального уровня заполнений в схеме. Отсюда по (10) находим условные распределения для с. в.  $\mu_k$ :

$$P(\mu_0 = 1/U = 0) = 9/12 = 3/4;$$

$$P(\mu_0 = 2/U = 0) = 3/12 = 1/4;$$

$$P(\mu_1 = 2/U = 1) = 3/3 = 1.$$

Тогда число пустых ячеек  $\mu_0$  имеет по (6) распределение

$$P(\mu_0 = 0) = 3/15 = 1/5;$$

$$P(\mu_0 = 1) = 9/15 = 3/5;$$

$$P(\mu_0 = 2) = 3/15 = 1/5.$$

Все полученные результаты совпадают с расчетами по графу на рисунке 3.

## ВЕРОЯТНОСТНЫЙ АНАЛИЗ СХЕМЫ $D$

**Теорема 4.** Для вероятностного распределения минимального заполнения ячеек при  $k$ , удовлетворяющего (1), выполняется соотношение

$$P(U = k) = \frac{M_D(k)}{N^*(r, n)} = \frac{1}{N^*(r, n)} \sum_{i=l}^L N(r - nk, n - i), \quad (11)$$

где  $N^*(r, n)$  – число исходов схемы  $D$  размещения неразличимых частиц по неразличимым ячейкам, а число исходов в той же схеме без пустых ячеек обозначено через  $N(r, n)$ ,  $M_D(k)$  – число исходов события ( $U = k$ ), т. е. все варианты размещения частиц в схеме, когда в части ячеек по  $k$  частиц, а в остальных ячейках больше, чем по  $k$  частиц.

**Доказательство.** В [4] получены число исходов схемы  $D$  размещения неразличимых частиц по неразличимым ячейкам  $N^*(r, n)$  и число исходов в той же схеме без пустых ячеек  $N(r, n)$  (в обозначениях [4]). Вероятность  $P(U = k)$  для допустимых по (1) значений  $k$  будем искать в виде  $M_D(k)/N^*(r, n)$ , где  $M_D(k)$  – число благоприятных исходов события ( $U = k$ ), т. е. все варианты размещения частиц в схеме, когда в части ячеек по  $k$  частиц, а в остальных ячейках больше, чем по  $k$  частиц. Число  $M_D(k)$  определяется по процедуре их перечисления: при заданном по (1) числе  $k$  при всех допустимых по (2) и (3) значениях  $i \in [l, L]$ , считая, что во всех  $n$  ячейках уже находится по  $k$  частиц, размещаем  $(r - nk)$  остальных частиц по любым  $(n - i)$  ячейкам без пустых известным из [4] числом  $N(r - nk, n - i)$  (в принятых там обозначениях) способами, определяющими при каждом значении  $i$  благоприятное число исходов события  $U = k$ .

Тогда

$$M_D(k) = \sum_{i=l}^L N(r - nk, n - i),$$

что и приводит к формуле (11).

Отсюда получаем вероятностное распределение с. в.  $\mu_k$  при заданном значении  $k$  с. в.  $U$ , т. е.

$$P(\mu_k = i/U = k) = (1/M_D(k))N(r - nk, n - i). \quad (12)$$

Тогда вероятностное распределение с. в.  $t_0$  снова находится по (6).  $\square$

Приведем числовой пример расчета вероятностных распределений приведенных характеристик.

**Пример 4.** Пусть  $n = 3$ ,  $r = 4$ . Общее число исходов схемы по [4]  $N^*(r, n) = 4$ ,  $k = 0$ ,  $[4/3] = \overline{0, 1}$ ; по (2) и (3) при  $k = 0$   $i = \overline{l, L}$ , где  $l = \max(1, 3 - 4) = 1$ ,  $L = 2$ , а при  $k = 1$   $i = \overline{l, L}$ , где  $l = \max(1, 6 - 4) = 2$ ,  $L = 2$ .

Для наглядности и проверки результатов расчетов в примере приведем граф полного перечисления исходов схемы на рисунке 4, где исходы будем задавать в виде перечня в возрастающем порядке уровней заполнения ячеек.

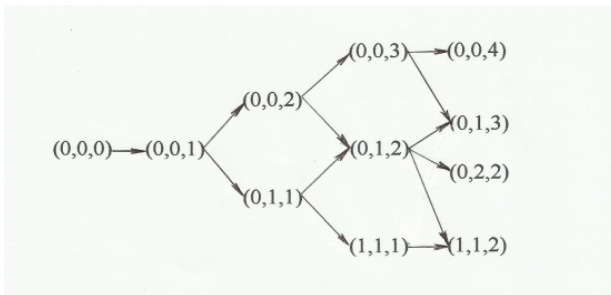


Рис. 4. Граф перечисления исходов схемы  $D$  в примере 4

Fig. 4. Enumeration graph of outcomes of the scheme  $D$  in example 4

Очевидно, при  $k = 0$ ,  $i = 1$  по уровням заполнения ячеек получаем два исхода:  $(0,1,3)$  и  $(0,2,2)$ , а при  $k = 0$ ,  $i = 2$  один исход:  $(0,0,4)$ , откуда по (11) при  $k = 0$  получаем

$$P(U = 0) = (1/4)(2 + 1) = 3/4 \quad (M_D(0) = 3),$$

а при  $k = 1$ ,  $i = 2$  получаем один исход:  $(1,1,2)$ , откуда по (11) получаем

$$P(U = 1) = 1/4 \quad (M_D(1) = 1).$$

В результате получено:  $P(U = 0) = 3/4$ ;  $P(U = 1) = 1/4$  – вероятностное распределение минимального уровня заполнений в схеме. Отсюда по (12) находим условные распределения для с. в.  $\mu_k$ :

$$P(\mu_0 = 1/U = 0) = 2/3;$$

$$P(\mu_0 = 2/U = 0) = 1/3;$$

$$P(\mu_1 = 2/U = 1) = 1.$$

Тогда число пустых ячеек  $\mu_0$  имеет по (6) распределение

$$P(\mu_0 = 0) = 1/4;$$

$$P(\mu_0 = 1) = 1/2;$$

$$P(\mu_0 = 2) = 1/4.$$

Все полученные результаты совпадают с расчетами по графу на рисунке 4.

## ЛИТЕРАТУРА

1. Энатская Н. Ю. Комбинаторное представление схемы размещения различных частиц по неразличимым ячейкам // Дискретная математика. 2017. Т. 29, № 1. С. 86–93. doi: 10.4213/dm1410
2. Энатская Н. Ю. Комбинаторный анализ подстановок с фиксированным числом циклов // Труды КарНЦ РАН. 2020. № 7. С. 110–119. doi: 10.17076/mat1171
3. Энатская Н. Ю. Комбинаторный анализ схемы деления совокупности различных элементов на части заданных размеров без учета их порядка // Труды КарНЦ РАН. 2019. № 7. С. 63–69. doi: 10.17076/mat972
4. Энатская Н. Ю., Хакимуллин Е. Р., Колчин А. В. Анализ схемы размещения неразличимых частиц по неразличимым ячейкам // Труды КарНЦ РАН. 2014. № 4. С. 80–86.
5. Энатская Н. Ю. Комбинаторный анализ схемы домино и случай фиксированной минимальной цифры на фишке домино // Труды КарНЦ РАН. 2017. № 8. С. 86–93. doi: 10.17076/mat562

Поступила в редакцию 09.12.2020

## REFERENCES

1. Enatskaya N. Yu. Kombinatornoe predstavlenie skhemy razmeshchenia razlichimykh chastits po nerazlichimym yacheikam [Combinatorial representation of the scheme of distinguishable particles arrangement to indistinguishable cells]. *Diskretnaya matematika* [Discrete Mathematics]. 2017. Vol. 29, no. 1. P. 126–135. doi: 10.4213/dm1410
2. Enatskaya N. Yu. Kombinatornyi analiz podstanovok s fiksirovannym chislom tsiklov [Combinatorial analysis of the permutations with

a fixed number of cycles]. *Trudy KarNTs RAN* [Trans. KarRC RAS]. 2020. No. 7. P. 110–119. doi: 10.17076/mat1171

3. Enatskaya N. Yu. Kombinatornyi analiz skhemy deleniya sovokupnosti razlichimykh elementov na chasti zadannykh razmerov bez ucheta ikh poryadka [Combinatorial analysis of the scheme of division of a population of distinguishable elements into parts of given sizes irrespective of their order]. *Trudy KarNTs RAN* [Trans. KarRC RAS]. 2019. No. 7. P. 63–69. doi: 10.17076/mat972

4. *Enatskaya N. Yu., Khakimullin E. R., Kolchin A. V.* Analiz skhemy razmeshcheniya nerazlichimyykh chastits po nerazlichimym yacheikam [Analysis of a scheme of allocating indistinguishable particles to indistinguishable cells]. *Trudy KarNTs RAN* [Trans. KarRC RAS]. 2014. No. 4. P. 143–154.

5. *Enatskaya N. Yu.* Kombinatornyi analiz skhemy domino i sluchai fiksirovannoi minimal'noi tsifry na fishke domino [Combinatorial analysis of the scheme of domino and case of fixed minimal figure on board of domino]. *Trudy KarNTs RAN* [Trans. KarRC RAS]. 2017. No. 8. P. 86–93. doi: 10.17076/mat562

*Received December 09, 2020*

#### **СВЕДЕНИЯ ОБ АВТОРЕ:**

**Энатская Наталия Юрьевна**  
доцент Департамента прикладной  
математики, к. ф.-м. н.  
Национальный исследовательский университет  
«Высшая школа экономики», Московский институт  
электроники и математики  
ул. Таллинская, 34, Москва, Россия, 123458  
эл. почта: nat1943@mail.ru  
тел.: +79037411345

#### **CONTRIBUTOR:**

**Enatskaya, Natalia**  
National Research University  
Higher School of Economics,  
Moscow Institute of Electronics and Mathematics  
34 Tallinskaya St., 123458 Moscow, Russia  
e-mail: nat1943@mail.ru  
tel.: +79037411345